

ЗАКРЕПЛЕНИЕ СОЛИТОНОВ АБРИКОСОВСКИМИ ВИХРЯМИ В РАСПРЕДЕЛЕННЫХ ДЖОЗЕФСОНОВСКИХ КОНТАКТАХ

Л.Г.Асламазов, Е.В.Гурович

Показано, что в распределенном джозефсоновском контакте наличие абрикосовского вихря в сверхпроводящей пленке приводит к новому типу возмущения синус уравнения Гордона. Такая неоднородность позволяет различать полярность солитонов и приводит к ряду физических эффектов, которые можно наблюдать экспериментально.

В последнее время проявляется большой интерес к исследованию распределенных джозефсоновых контактов (РДК), в которых могут распространяться кванты магнитного потока – солитоны. Для закрепления солитонов в таких контактах используются микрозакоротки ¹ и микросопротивления ². В настоящей работе рассмотрено влияние на движущиеся солитоны квантов потока, локализованных в сверхпроводнике (например, абрикосовских вихрей (АВ), запиннингованных с помощью искусственно созданных неоднородностей).

Такой способ управления солитонами обладает рядом преимуществ – можно различать полярность солитонов, а также легко создавать и уничтожать управляющие центры.

РДК является одной из многих физических систем достаточно хорошо описываемых си- нус уравнением Гордона (SG), в котором неоднородности контакта приводят к появлению добавочного члена. В присутствии АВ уравнение на разность фаз параметра порядка φ в сверхпроводниках имеет вид

$$\begin{aligned} \varphi_{tt} - \varphi_{xx} + \sin \varphi = & -\alpha \varphi_t - \gamma - \sum_i \eta_i \delta_x (a_i - x) \\ \eta_i = & 2\pi e^{-\kappa b_i}, \end{aligned} \quad (1)$$

где координата x , вдоль которой распространяются солитоны, измеряется в единицах джозефсоновской глубины проникновения λ_J , время t измеряется в единицах обратной джозефсоновской плазменной частоты; индексы x и t означают дифференцирование по соответствующим переменным.

Первый член в правой части описывает диссипацию, связанную с протеканием через контакт нормального тока, второй член – однородно распределенный ток (ток смещения); третий член соответствует возмущению, создаваемому АВ, расположенными в сверхпроводнике в точках с координатами a_i на расстояниях b_i от плоскости контакта (оси вихрей перпендикулярны оси x и параллельны плоскости контакта); параметр $\kappa = (\lambda_J/\lambda_L) \gg 1$, где λ_L – лондоновская глубина проникновения.

Возмущение в уравнении SG, вызываемое АВ, обусловлено поверхностными токами, которые приводят к дополнительному градиенту фазы в сверхпроводнике³. Эти токи локализованы в области $\Delta x \sim \lambda_L$, около вихря, размер которой гораздо меньше характерного масштаба изменение фазы λ_J у солитона. Поэтому распределение поверхностных токов можно моделировать δ -функцией, а в уравнении на фазу появляется ее производная. Модифицированное уравнение SG такого вида исследуется впервые.

Физический смысл возмущения становится особенно ясным, если представить уравнение (1) в виде гамильтоновой системы. Тогда в гамильтониане появляется дополнительный член

$$\mathcal{H}^P(\varphi) = \int \eta \delta(a - x) \varphi_x dx = 2\pi \varphi_x(a) e^{-\kappa b}, \quad (2)$$

который в соответствующих единицах совпадает с энергией АВ в магнитном поле солитона в лондоновском приближении.

Для исследования динамики отдельного солитона в РДК при наличии АВ, воспользуемся теорией возмущений, развитой в⁴. Для координаты центра солитона $X(t)$ и его скорости $u(t)$ получаем из уравнения (1) автономную систему обыкновенных дифференциальных уравнений

$$X_t = u + \frac{\eta u}{4} \operatorname{sch}(X/\sqrt{1-u^2}) \left[1 - \frac{X \operatorname{th}(X/\sqrt{1-u^2})}{\sqrt{1-u^2}} \right] \quad (3)$$

$$u_t = \frac{\eta}{4} \sqrt{1-u^2} \operatorname{th}(X/\sqrt{1-u^2}) \operatorname{sch}(X/\sqrt{1-u^2}) + \frac{\pi \gamma}{4} (1-u^2)^{3/2} - \alpha u (1-u^2),$$

где знак η определяется полярностью солитона по отношению к АВ ($\eta > 0$ при одинаковых полярностях), а знак γ – направлением тока смещения.

В простейшем случае отсутствия диссипации и тока смещения ($\alpha = \beta = 0$) система (3) полностью интегрируется. Инфинитные траектории на фазовой плоскости (u, X) определяются формулой

$$X(u) = \pm \sqrt{1-u^2} \operatorname{Ars ch} \left(\frac{4}{\eta} \left[\left(\frac{1-u^2}{1-u_\infty^2} \right)^{1/2} - 1 \right] \right), \quad (4)$$

где u_∞ – скорость солитона на бесконечности. В случае притяжения солитона к АВ ($\eta < 0$) имеются также предельные циклы, для которых приведем связь скорости в положении равновесия u_{max} и максимального отклонения X_{max} от положения равновесия

$$u_{max}^2 = \frac{\eta}{4} (1 - \operatorname{sch} X_{max}). \quad (5)$$

Как видно из формул (4 – 5) в зависимости от полярности солитона и его начальной скорости возможны три типа движения: отражение φ^+ -солитона от вихря ($\eta > 0, u_\infty < \sqrt{\eta/2}$), колебания φ^- -солитона около вихря ($\eta < 0, u_\infty = 0$), уход солитонов по другую сторону от вихря (в остальных случаях).

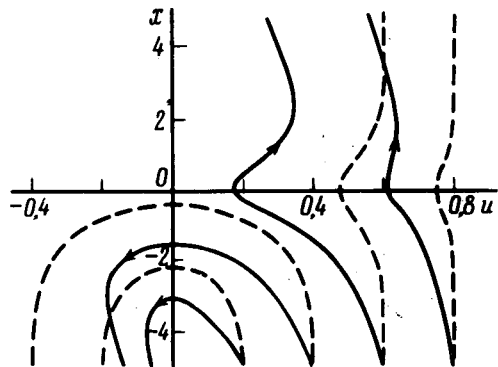


Рис. 1

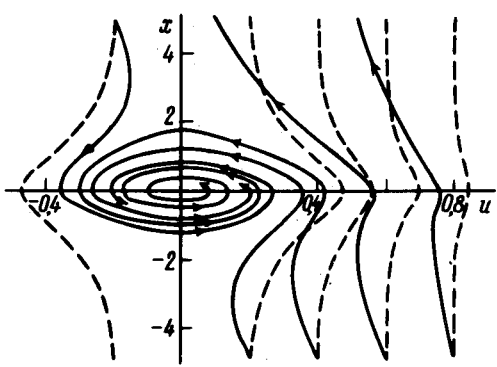


Рис. 2

Рис. 1. Фазовая траектория движения φ^+ -солитона при $\gamma = 0; \alpha = 0; \eta = 0, 4$; (пунктирная линия) и при $\gamma = 0; \alpha = 0, 05; \eta = 0, 4$ (сплошная линия)

Рис. 2. Фазовая траектория движения φ^- -солитона при $\gamma = 0; \alpha = 0; \eta = 0, 4$; (пунктирная линия) и при $\gamma = 0; \alpha = 0, 05; \eta = 0, 4$ (сплошная линия)

При наличии диссипации и тока смещения система уравнения (3) решается численно на ЭВМ. При этом опять имеется существенное отличие в динамике солитонов разной полярности. На рис. 1 показаны различные фазовые траектории для φ^+ -солитона, а на рис. 2 для φ^- -солитона. Как видно диссипация приводит к закреплению φ^- -солитона, в то время как характер движения φ^+ -солитона существенно не меняется. При наличии тока смещения может также произойти закрепление φ^+ -солитона. Однако, точка закрепления находится вдали от АВ (при малых значениях γ). Координаты X_0 точек закрепления в общем случае находятся из уравнения

$$\frac{\pi\gamma}{\eta} + (\operatorname{th} X_0) (\operatorname{sch} X_0) = 0. \quad (6)$$

Критическое значение тока смещения, при котором закрепление солитонов становится невозможным, $\gamma_c = \eta/2\pi$.

В гармоническом приближении можно определить частоты колебаний около положения равновесия

$$\Omega^2 = \frac{\eta}{4} \operatorname{sch} X_0 (\operatorname{th}^2 X_0 - \operatorname{sch}^2 X_0). \quad (7)$$

В зависимости от знака η имеются две существенно различные ветви спектра, соответствующие колебаниям φ^+ - и φ^- -солитонов (рис. 3).

Для возбуждения колебаний можно пользоваться импульсом тока смещения, который приводит к появлению у солитона начальной скорости. При этом максимальное отклонение от положения равновесия при отсутствии тока смещения можно рассчитать по формуле (5). Отметим также, что АВ может расщеплять бризеры, распространяющиеся в РДК.

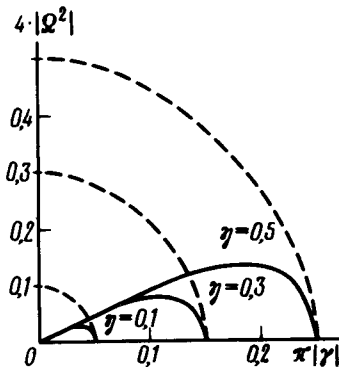


Рис. 3. Зависимость квадрата частоты колебаний Ω^2 φ^- -солитона (пунктирная линия) и φ^+ -солитона (сплошная линия) от значений тока смещения γ при различных значениях η

Все описанные выше эффекты можно обнаружить экспериментально в РДК конечной длины на основе методик, позволяющих регистрировать отражение солитона от концов контакта⁵, фиксировать момент прохождения солитоном АВ с помощью двух датчиков, расположенных по обе стороны от последнего⁶ или непосредственно анализировать выходной сигнал на ЭВМ⁷. При этом необходимо учитывать изменение полярности солитона, которое обычно происходит при отражении от конца линии.

АВ можно закрепить с помощью локального понижения параметра порядка, например, напыляя на сверхпроводящую пленку в определенных местах слой нормального металла (используя эффект близости). Если создать локальное утоньшение пленки и пропустить по ней ток, то увеличение плотности тока в этом месте приводит к возмущению тока через контакт также описываемом уравнением (1).

Авторы благодарны А.А.Абрикосову, В.Н.Губанкову, В.А.Кошелыцу, А.И.Ларкину и А.Т.Филиппову за ценное обсуждение полученных результатов.

Литература

1. Солитоны в действии. М.: Мир, 1981.
2. Гальперн Ю.С., Филиппов А.Т. Письма в ЖЭТФ, 1982, **35**, 470.
3. Денисов Ю.П. ФТТ, 1979, **18**, 119.
4. McLaughlin D.W., Scott A.C. Appl. Phys. Lett., 1977, **30**, 545.
5. Dueholm B., Levring O.A., Mygind J., Pedersen N.F., Soerensen O.H., Cirillo M. Phys. Rev. Lett., 1981, **46**, 1299.
6. Scott A.C., Chu F.Y.F., Reble S.A. Journ. Appl. Phys., 1976, **47**, 3242.
7. Matsuda A., Kawakami T. Phys. Rev. Lett., 1983, **51**, 694.